



ГОСУДАРСТВЕННЫЙ НАУЧНЫЙ ЦЕНТР РОССИЙСКОЙ ФЕДЕРАЦИИ

ИНСТИТУТ ФИЗИКИ ВЫСОКИХ ЭНЕРГИЙ

ИФВЭ 2000-9  
ОТФ

В.А. Петров<sup>1</sup>, А.В. Прокудин<sup>2</sup>

**СТРУКТУРНАЯ ФУНКЦИЯ  $F_2^p(x, Q^2)$  ПРИ МАЛЫХ  $x$   
В ОБОБЩЁННОМ РЕДЖЕ-ЭЙКОНАЛЬНОМ ПОДХОДЕ**

Направлено в ЯФ

---

<sup>1</sup>petrov@mx.ihep.su

<sup>2</sup>prokudin@th1.ihep.su

**Аннотация**

Петров В.А., Прокудин А.В. Структурная функция  $F_2^p(x, Q^2)$  при малых  $x$  в обобщенном Редже-эйкональном подходе.: Препринт ИФВЭ 2000-9. – Протвино, 2000. – 11 с., 6 рис., 1 табл., библиогр.: 7.

В данной работе исследовано поведение при малых  $x$  структурной функции протона  $F_2^p(x, Q^2)$  в рамках обобщённой Редже-эйкональной модели, которая автоматически учитывает условие унитарности для процессов с частицами, находящимися вне массовой оболочки. Достигнуто хорошее качество описания экспериментальных данных при  $x < 10^{-2}$  и обосновано предположение о том, что данные по  $F_2^p(x, Q^2)$ , полученные на HERA, могут быть описаны при помощи классических универсальных траекторий Редже. При этом не используются гипотетические “жесткие” траектории с большими интерсептами.

**Abstract**

Petrov V.A., Prokudin A.V. The Proton Structure Function  $F_2^p(x, Q^2)$  in the Framework of Extended Regge - Eikonal Approach.: IHEP Preprint 2000-9. – Protvino, 2000. – p. 11, figs. 6, tables 1, refs.: 7.

The proton structure function  $F_2^p(x, Q^2)$  is described in the framework of the off-shell extension of the Regge-eikonal approach which automatically takes into account off-shell unitarity. We achieved a good quality of description for  $x < 10^{-2}$  and we argue that the data on  $F_2^p(x, Q^2)$  measured at HERA can be fairly described with classical universal Regge trajectories. No extra, “hard” trajectories of high intercept are needed for that. The  $x$ -,  $Q^2$ -slopes and the effective intercept are discussed as functions of  $Q^2$  and  $x$ .

## ВВЕДЕНИЕ

Существует много моделей, описывающих поведение  $F_2^p(x, Q^2)$  при малых  $x$  в рамках так называемого “мягкого” померона [1] или при помощи “жёсткого” померона [2]. Ниже мы, по существу, добавляем новые аргументы в пользу “мягкого” померона в рамках общего подхода, который учитывает условие унитарности для процессов с виртуальными частицами. Особенностью подхода является полное игнорирование возможностей вычислений по пертурбативной КХД, что, конечно, не следует воспринимать как игнорирование КХД как основы теории сильных взаимодействий.

### 1. РАСШИРЕНИЕ РЕДЖЕ-ЭЙКОНАЛЬНОЙ МОДЕЛИ НА ПРОЦЕССЫ С ВИРТУАЛЬНЫМИ ЧАСТИЦАМИ

Формулировку данной модели мы начнём с условия унитарности:

$$\text{Im}T(s, \vec{b}) = |T(s, \vec{b})|^2 + \eta(s, \vec{b})$$

(здесь  $T(s, \vec{b})$  – это амплитуда рассеяния в пространстве прицельного параметра,  $\vec{b}$  – прицельный параметр,  $\eta(s, \vec{b})$  обозначает вклад неупругих каналов). Амплитуда в эйкональной модели может быть записана следующим образом:

$$T(s, \vec{b}) = \frac{e^{2i\delta(s, \vec{b})} - 1}{2i}. \quad (1)$$

Условие унитарности в терминах эйконала,  $\delta(s, \vec{b})$ , выглядит очень просто:

$$\text{Im}\delta(s, \vec{b}) \geq 0, \quad s > s_{inel}. \quad (2)$$

В Редже-полюсном приближении эйкональная функция в  $t$ -пространстве (здесь  $t$  – это переданный импульс) имеет вид:

$$\hat{\delta}(s, t) = c \left( \frac{s}{s_0} \right)^{\alpha^{(0)}} e^{t \frac{\rho^2}{4}}, \quad (3)$$

где

$$\rho^2 = 4\alpha'(0) \ln \frac{s}{s_0} + r^2 \quad (4)$$

“реджеонный радиус”.

Таким образом, эйкональная функция имеет простой полюс в  $J$ -плоскости и соответствующая траектория Редже берётся в линейном приближении при малых  $t$ :

$$\alpha(t) = \alpha(0) + \alpha'(0)t. \quad (5)$$

Для перехода из  $t$ - в  $b$ -пространство используется преобразование Фурье-Бесселя:

$$\begin{aligned} \hat{f}(t) &= 4\pi s \int_0^\infty db^2 J_0(b\sqrt{-t}) f(b), \\ f(b) &= \frac{1}{16\pi s} \int_{-\infty}^0 dt J_0(b\sqrt{-t}) \hat{f}(t). \end{aligned} \quad (6)$$

Используя (6), мы получаем известное  $b$ -представление для эйкональной функции:

$$\delta(s, b) = \frac{c}{s_0} \left( \frac{s}{s_0} \right)^{\alpha(0)-1} \frac{e^{-\frac{b^2}{\rho^2}}}{4\pi\rho^2}. \quad (7)$$

“Померон” в этом подходе – это ведущий полюс эйкональной функции.

Для сечений используются следующие нормировки:

$$\begin{aligned} \sigma_{tot} &= \frac{1}{s} \text{Im} T(s, t=0), \\ \sigma_{el} &= 4\pi \int_0^\infty db^2 |T(s, b)|^2, \\ \frac{d\sigma}{dt} &= \frac{|T(s, t)|^2}{16\pi s^2}. \end{aligned} \quad (8)$$

Обобщение эйконального представления (что, вообще говоря, справедливо и вне Редже-эйконального подхода) на случай, когда частицы находятся вне массовой оболочки, может быть получено с помощью следующего рассмотрения. Амплитуду  $T(s, t)$  можно переписать как

$$\begin{aligned} T(q', p'|q, p) &= \hat{\delta}(q', p'|q, p) + i \int d^3 q'' d^3 p'' d^3 q''' d^3 p''' (2\pi)^4 \delta(q' + p' - q'' - p'') \cdot \\ &\cdot (2\pi)^4 \delta(q''' + p''' - q - p) \delta(p', q'|q'', p'') L(q'', p''|q''', p''') \delta(q''', p'''|q, p), \end{aligned} \quad (9)$$

где (в случае идентичных частиц массы  $m$ )

$$\begin{aligned} T(s, t) &= T(q', p'|q, p) \Big|_{q'^2=q^2=p'^2=p^2=m^2}, \\ \hat{\delta}(s, t) &= \hat{\delta}(q', p'|q, p) \Big|_{q'^2=q^2=p'^2=p^2=m^2}, \\ s &= (p + q)^2 = (p' + q')^2, \\ t &= (p - p')^2 = (q - q')^2, \\ d^3 p &= dp / (2\pi)^3 2p_0 \equiv \frac{d^4 p}{(2\pi)^4} \Theta(p_0) 2\pi \delta(p^2 - m^2), \\ \sum_{n=2}^\infty \frac{2(2i\delta(s, b))^{n-2}}{n!} &\equiv L(s, b), \\ L(s, t) &= 4s \int d^2 b e^{ikb} L(s, b). \end{aligned} \quad (10)$$

Представление (9) можно проиллюстрировать следующей диаграммой:

$$T = \frac{e^{2i\delta} - 1}{2i} = \boxed{\delta} + i \boxed{\delta} \circ L \circ \boxed{\delta}$$

Дальнейший (и очень важный) шаг состоит в том, чтобы “снять” некоторые внешние импульсы с массовой оболочки. Пусть  $q^2 \neq m^2$ ,  $q'^2 \neq m^2$  (т.е. две из взаимодействующих частиц лежат вне массовой оболочки, как в процессе  $\gamma^* p \rightarrow \gamma^* p$ ). Тогда (9) принимает следующий вид:

$$T^{**} = \hat{\delta}^{**} + i \hat{\delta}^* \circ L \circ \hat{\delta}^*, \quad (11)$$

где звёздочки обозначают частицы вне массовой оболочки. Мы можем связать амплитуду вне массовой оболочки с амплитудой на массовой оболочке [3]:

$$T^{**}(s, b) = \delta^{**}(s, b) - \frac{\delta^*(s, b)\delta^*(s, b)}{\delta(s, b)} + \frac{\delta^*(s, b)\delta^*(s, b)}{\delta(s, b)\delta(s, b)}T(s, b) \quad (12)$$

Разложение (11) можно, очевидно, проиллюстрировать с помощью следующей диаграммы:

$$T^{**}(s, b) = \boxed{\delta^{**}} + i \boxed{\delta^*} \circ L \circ \boxed{\delta^*}$$

Случай, когда только одна частица находится вне массовой оболочки, рассматривается подобным образом. Предположим, что  $q^2 \neq m^2$ . Тогда уравнение (9) переписывается как

$$T^* = \hat{\delta}^* + i \hat{\delta}^* \circ L \circ \hat{\delta}, \quad (13)$$

или

$$T^*(s, b) = \boxed{\delta^*} + i \boxed{\delta^*} \circ L \circ \boxed{\delta}$$

Связь  $T^*$  и  $T$  очевидна:

$$T^*(s, b) = \frac{\delta^*(s, b)}{\delta(s, b)}T(s, b). \quad (14)$$

Выберем конкретную реализацию эйкональной функции в случае присутствия виртуальных частиц. Фактически эйконал сопоставляется (в духе известного подхода Чоу-Янга, но с учётом новейших достижений) вкладу ведущего твиста 2, если использовать язык операторных разложений, откуда следует, что при фиксированных  $x \simeq \frac{Q^2}{s+Q^2}$  нарушение

скейлинга слабое (не степенное). С учётом этого и формулы (7) выберем следующую параметризацию эйконала:

$$\delta_{\pm}^*(s, b) = \xi_{\pm} \frac{c_*(Q^2)}{s_0 + Q^2 - m^2} \left( \frac{s + Q^2 - m^2}{s_0 + Q^2 - m^2} \right)^{\alpha(0)-1} e^{-\frac{b^2}{\rho_*^2}}, \quad (15)$$

где

$$\rho_*^2 = 4\alpha'(0) \ln \frac{s + Q^2 - m^2}{s_0 + Q^2 - m^2} + r_N^2 + r_*^2(Q^2), \quad (16)$$

и

$$\delta_{\pm}^{**}(s, b) = \xi_{\pm} \frac{c_{**}(Q^2)}{s_0 + Q^2 - m^2} \left( \frac{s + Q^2 - m^2}{s_0 + Q^2 - m^2} \right)^{\alpha(0)-1} e^{-\frac{b^2}{\rho_{**}^2}}, \quad (17)$$

где

$$\rho_{**}^2 = 4\alpha'(0) \ln \frac{s + Q^2 - m^2}{s_0 + Q^2 - m^2} + r_N^2 + r_{**}^2(Q^2), \quad (18)$$

а  $r_N$ ,  $r_*$  и  $r_{**}$  – “радиусы”, связанные с соответствующими вершинами. Мы предполагаем, что коэффициенты  $c_*(Q^2)$ ,  $c_{**}(Q^2)$  слабо (не степенным образом) зависят от  $Q^2$ .  $\xi_{\pm}$  суть сигнатурные факторы. Опишем свойства модели в различных кинематических режимах.

## 1.1. ПОЛНОЕ СЕЧЕНИЕ

В соответствии с (8) мы получаем:

$$\sigma_{tot}^{**} = \frac{1}{s} \text{Im} T^{**}(s, t=0). \quad (19)$$

- Реджевский режим ( $s \gg Q^2$ ):

$$\sigma_{tot}^{**} \rightarrow \frac{(s/Q^2)^{\Delta}}{Q^2} \left[ c_{**} - \frac{c_*^2}{c} \left( \frac{s_0}{Q^2} \right)^{1+\Delta} \frac{\rho^2}{\rho_*^2} \right]. \quad (20)$$

- Бьёркеновский режим ( $s \simeq Q^2(1-x)/x$ ,  $x$  – фиксирован):

$$\sigma_{tot}^{**} \rightarrow \frac{c_{**}(Q^2)}{Q^2} \left( \frac{1}{x} \right)^{\Delta} - \frac{c_*^2}{2c} \cdot \frac{1}{Q^2} \cdot \left( \frac{1}{x} \right)^{\Delta} \cdot \left( \frac{s_0}{Q^2} \right)^{1+\Delta} \cdot \frac{\ln \frac{Q^2(1-x)}{s_0 x}}{\ln \frac{1}{x}}. \quad (21)$$

Как мы видим, полное сечение имеет степенное поведение в пределе Редже, но это не означает нарушения ограничения Фруассара-Мартэна [4], так как данное ограничение не может быть получено для данного случая. Если же мы восстановим условия массовой оболочки для частиц, то восстановим и ‘нормальное’ логарифмическое асимптотическое поведение  $\sigma \sim \ln^2 \frac{s}{s_0}$ . В пределе Бьёркена мы имеем сильное (степенное) нарушение скейлинга во втором члене, который, однако, не представляет собой вклад высших твистов, поскольку имеет не целую степень.

## 1.2. УПРУГОЕ СЕЧЕНИЕ

Для упругого сечения мы получаем следующее выражение (см. (8)):

$$\sigma_{el}^* = 4\pi \int_0^\infty db^2 \left| \frac{\delta^*}{\delta} T(s, b) \right|^2. \quad (22)$$

Поскольку  $q'^2 = \mu^2$ , где  $\mu$  – масса рождающейся частицы, то естественно положить  $s_0 = \mu^2$ , и мы приходим к следующему выражению:

- **Реджевский режим**

$$\sigma_{el}^* \rightarrow 16\pi\alpha'(0)\Delta \left(\frac{c_*}{c}\right)^2 \left(\frac{\mu^2}{Q^2}\right)^{2+2\Delta} \left(\ln \frac{s}{\mu^2}\right)^2. \quad (23)$$

- **Бьёркеновский режим**

$$\sigma_{el}^* \rightarrow 8\pi\alpha'(0) \left(\frac{c_*}{c}\right)^2 \left(\frac{\mu^2}{Q^2}\right)^{2+2\Delta} \frac{(\ln(Q^2/x))^2}{\ln(1/x)}. \quad (24)$$

Интересно отметить, что

$$\frac{\sigma_{el}^*}{\sigma_{tot}^{**}} \rightarrow 0 \quad (25)$$

в отличие от предела  $1/2$  для случая всех частиц на массовой оболочке. Теперь мы готовы перейти к описанию структурной функции протона  $F_2^p(x, Q^2)$ .

## 2. МОДЕЛЬ ДЛЯ $F_2^p(x, Q^2)$

Протонная структурная функция  $F_2^p(x, Q^2)$  связана с поперечным сечением  $\sigma_T^{**}(W, Q^2)$  процесса  $\gamma^* + p \rightarrow X$  следующим соотношением:

$$\sigma_T^{**}(W, Q^2) = \frac{4\pi^2\alpha}{Q^2(1-x)} \frac{1 + \frac{4m_p^2 x^2}{Q^2}}{1 + R(x, Q^2)} F_2^p(x, Q^2), \quad (26)$$

где  $W^2 = \frac{Q^2}{x} - Q^2 + m_p^2$ ,  $R(x, Q^2) = \frac{\sigma_T^{**}}{\sigma_T^{**}}$ . Так как отношение  $R(x, Q^2)$  полагается малым, мы положим его равным 0, т.е. мы предполагаем, что полное сечение совпадает с поперечным.

В последующем рассмотрении мы ограничимся малыми  $x$  такими, что  $x < 10^{-2}$ , для того, чтобы иметь возможность использовать асимптотическую формулу (20), которая явно демонстрирует эффекты унитаризации в нашей модели. Используя (17) и (16), уравнение (20) можно переписать как ( $s \equiv W^2$ )

$$\sigma_{tot}^{**} \rightarrow \frac{((W^2 + Q^2 - m_p^2)/(W_0^2 + Q^2 - m_p^2))^{\Delta_P}}{(W_0^2 + Q^2 - m_p^2)} \cdot \left[ c_{**}(Q^2) - \frac{c_*^2(Q^2)}{c} \left( \frac{W_0^2 - \mu^2 - m_p^2}{W_0^2 + Q^2 - m_p^2} \right)^{1+\Delta_P} \frac{\rho_0^2}{\rho_0^2} \right]. \quad (27)$$

При получении данной формулы мы сделали ряд предположений:

- Мы предполагаем, что амплитуда рассеяния для  $\gamma^* p$  пропорциональна [5] амплитуде рассеяния виртуального векторного мезона на  $p$  и этот “эффективный” векторный мезон есть  $\rho_0$ , т.е.

$$T_{\gamma^* p \rightarrow \gamma^* p}(W, Q^2, t) = k \cdot T_{\rho_0^* p \rightarrow \rho_0^* p}(W, Q^2, t), \quad (28)$$

где  $k$  – некоторая константа.

- Поскольку мы используем асимптотические формулы, то пренебрегаем реальной частью сигнатурного множителя для померона (так как он пропорционален  $\Delta_P \simeq 0.1$ ) и полагаем сигнатурный множитель равным  $i$ .
- Параметризации для  $c_{**}$  и  $c_*$  таковы:

$$\begin{aligned} c_{**}(Q^2) &= c^{**}, \\ c_*(Q^2) &= c^* + c_1^* \ln\left(\frac{Q_0^2 + Q^2}{Q_0^2}\right)^3, \\ c &= c_*(-\mu^2), \end{aligned} \quad (29)$$

где  $Q_0^2 = 1.0$  ( $\Gamma \Delta B^2$ ),  $\mu = 0.77$   $\Gamma \Delta B$  (масса  $\rho$ -мезона), а  $c^{**}$ ,  $c^*$ ,  $c_1^*$  суть численные параметры.

- Параметризации радиусов  $\rho^2$ ,  $\rho_*^2$ :

$$\begin{aligned} \rho_*^2(W, Q^2) &= 4\alpha'(0) \ln \frac{W^2 + Q^2 - m_p^2}{W_0^2 + Q^2 - m_p^2} + r^2 / (Q_0^2 + Q^2), \\ \rho^2(W) &= \rho_*^2(W, -\mu^2), \end{aligned} \quad (30)$$

где  $r$  – параметр.

Окончательно мы получаем следующее выражение для  $F_2^p(x, Q^2)$ :

$$\begin{aligned} F_2^p(x, Q^2) &= \frac{1}{4\pi^2 \alpha} \frac{Q^2(1-x)}{1 + \frac{4m_p^2 x^2}{Q^2}} \cdot \\ &\cdot \frac{((W^2 + Q^2 - m_p^2)/(W_0^2 + Q^2 - m_p^2))^{\Delta}}{(W_0^2 + Q^2 - m_p^2)} \cdot \left[ c_{**}(Q^2) - \frac{c_*^2(Q^2)}{c} \left( \frac{W_0^2 - \mu^2 - m_p^2}{W_0^2 + Q^2 - m_p^2} \right)^{1+\Delta} \frac{\rho^2}{\rho_*^2} \right]. \end{aligned} \quad (31)$$

Асимптотика при  $Q^2 \gg W_0^2$ ,  $1/x \gg 1$  имеет вид:

$$F_2^p(x, Q^2) \simeq \left(\frac{1}{x}\right)^{\Delta} \left[ c_{**}(Q^2) - \frac{c_*^2(Q^2)}{c} \left( \frac{\ln Q^2 / W_0^2}{\ln 1/x} + 1 \right) \cdot \left( \frac{W_0^2}{Q^2} \right)^{1+\Delta} \right]. \quad (32)$$

### 3. РЕЗУЛЬТАТЫ

Как уже было сказано, для фитирования мы используем данные при  $x < 10^{-2}$ ; таким образом, из полного набора 1265 точек мы выделяем 401. Имея 5 свободных параметров, мы достигли  $\chi^2 = 0.914$ . Параметры представлены в табл.1. (Интерсепт и наклон померонной траектории взяты из работы по описанию нуклон-нуклонного рассеяния [6].)

Таблица 1. Параметры, полученные при фитировании экспериментальных данных

$\Delta_P$ (фикс.)	0.11578	$\alpha'_P(\Gamma \Delta B^{-2})$ (фикс.)	0.27691
$c^{**}$	7.5756	$c^*$	3.0036
$c_1^*$	0.030931	$r^2$	117.89
$Q_0^2(\Gamma \Delta B^2)$ (фикс.)	1.0	$W_0(\Gamma \Delta B)$	1.6336

Результаты фитирования представлены на рис.1, 2.



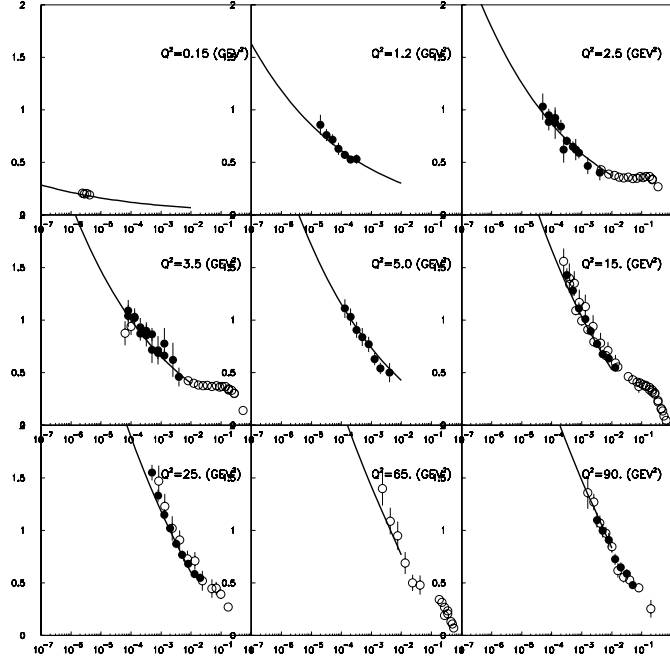


Рис. 1. Экспериментальные данные по протонной структурной функции  $F_2^p(x, Q^2)$  при малых  $Q^2$  и предсказания модели.

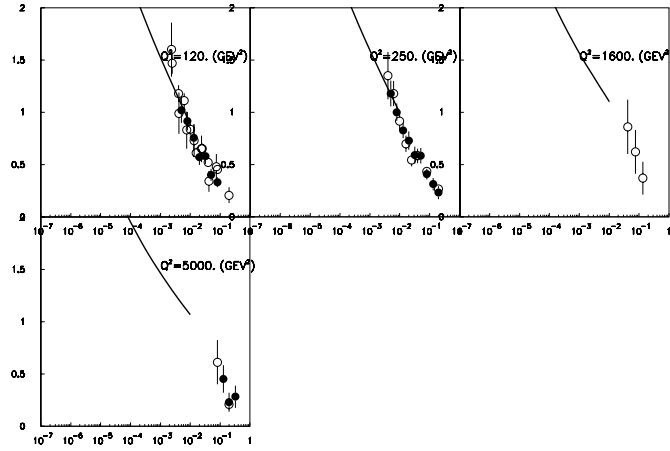


Рис. 2. Экспериментальные данные по протонной структурной функции  $F_2^p(x, Q^2)$  при больших  $Q^2$  и предсказания модели.

### 3.1. $x$ -НАКЛОН ИЛИ $\partial \ln F_2^p(x, Q^2) / \partial \ln(1/x)$

Данные по  $F_2^p(x, Q^2)$  имеют тенденцию к быстрому росту при уменьшении  $x$ . Это так называемый эффект HERA. Наша модель предполагает, что данный эффект будет ослаблен с ростом  $Q^2$ . Это предсказание представлено на рис. 3. Подобный эффект также предсказан в рамках модели дипольного померона [7]. Мы полагаем, что новые экспериментальные данные в области  $100 \leq Q^2 \leq 1000$  и  $x \leq 10^{-2}$  помогут подтвердить или опровергнуть это предсказание.

Эффективный интерсепт, который измеряется экспериментально, в предположении, что  $F_2^p \propto (1/x)^{\Delta_{eff}(Q^2)}$ , может быть приближённо сопоставлен с  $x$ -наклоном, если наклон слабо зависит от  $x$ . Мы провели вычисление наклона и сравнение с экспериментальными данными (представлено на рис. 4). Подчеркнём, что эффективный интерсепт был вычислен, т.е. экспериментальные данные по нему не были включены в процесс фитирования. Как можно видеть, данные эксперимента хорошо описываются моделью.

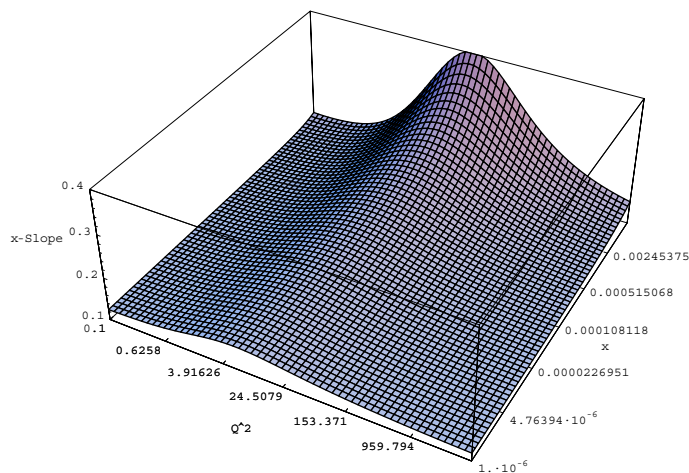


Рис. 3.  $x$ -наклон  $\frac{\partial \ln F_2^p(x, Q^2)}{\partial \ln(1/x)}$  как функция  $x$  и  $Q^2$ .

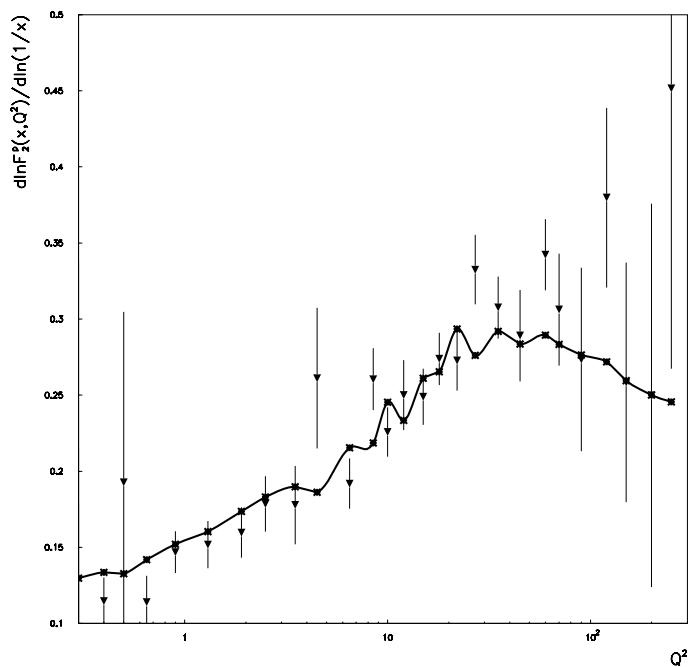


Рис. 4. Эффективный интерсепт, измеряемый экспериментально в сравнении с предсказаниями нашей модели. (Звёздочки обозначают точки, где наклон  $\frac{\partial \ln F_2^p(x, Q^2)}{\partial \ln(1/x)}$  был вычислен.)

### 3.2. $Q$ -НАКЛОН ИЛИ $\partial F_2^p(x, Q^2)/\partial \ln(Q^2)$

Данные по  $Q$ -наклону имеют пик при  $Q^2 \sim 1 - 5$  ( $\Gamma \text{эВ}^2$ ). Этот максимум часто интерпретируется как переход от реджевского поведения к пертурбативному режиму КХД. Мы провели вычисления в рамках нашей модели, и результаты представлены на рис. 5. Как можно видеть, специфическое поведение  $Q$ -наклона вполне согласуется с реджевским режимом. Мы также хотим подчеркнуть то, что определение переходной области зависит от пути на двухмерной поверхности  $\partial F_2^p(x, Q^2)/\partial \ln(Q^2)$  и это может привести к  $x$ -зависимости положения максимума [7]. Для того чтобы продемонстрировать этот эффект, мы приводим рисунок с вычисленным наклоном в рамках нашей модели (см. рис. 6).

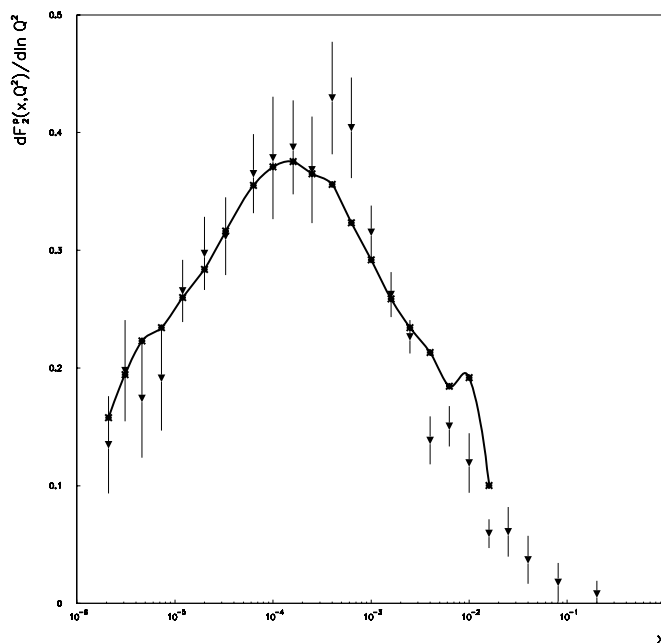


Рис. 5.  $Q$ -наклон  $\frac{\partial F_2^p(x, Q^2)}{\partial \ln(Q^2)}$ . (Звёздочки обозначают точки, где мы вычислили  $\frac{\partial \ln F_2^p(x, Q^2)}{\partial \ln(1/x)}$ .)

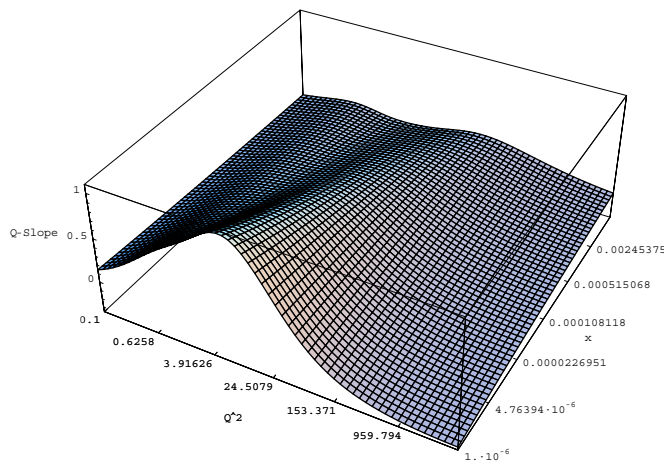


Рис. 6.  $Q$ -наклон  $\frac{\partial F_2^p(x, Q^2)}{\partial \ln(Q^2)}$  как функция  $x$  и  $Q^2$ .

## ЗАКЛЮЧЕНИЕ

Протонная структурная функция  $F_2^p(x, Q^2)$  при малых  $x$  описана в рамках обобщённого Редже-эйконального подхода. Для описания данных не требуется дополнительных полюсов Редже с интерсептами, зависящими от  $Q^2$ . Экспериментальные данные по  $x$ - и  $Q$ -наклонам также хорошо описаны. Модель предсказывает ослабление эффекта, полученного на HERA (такое же предсказание сделано в рамках модели дипольного померона [7]).

Мы хотели бы выразить благодарность Е.Мартынову за полезные обсуждения и А.Деруку (A. De Roeck) за предоставленные экспериментальные данные. Один из авторов (А.П.) признателен отделу теоретической физики ИСТР за приглашение и гостеприимство в течение его визита в ИСТР, где была сделана часть этой работы.

## Список литературы

- [1] *K. Adel, F. Barreiro, F.J. Ynduráin* //Nucl.Phys. 1997. V. B405. P.211.  
*Е. Мартынов.* – В кн.: Труды конференции “Адрон-94”, Ужгород, Украина, 1994. – Киев, 1994, p.311; in: *Proceedings of the VI Blois Conference on Elastic and Diffractive Scattering, Blois, France, June 1995*, edited by P. Chiapetta, M. Haguenaer, J. Trân Thanh Vân (Editions Frontières 1996), p.203.  
*L. Jenkovszky, E.Martynov, F. Paccanoni.* *Regge behaviour of nucleon structure function.* PFDP 95/TH/21, Padova University (1995).  
*W. Buchmuller, D. Haidt.* *Double-logarithmic Scaling of the Structure Function  $F_2$  at small  $x$*  DESY 96-061; hep-ph/9605428 (1996).  
*D. Schildknecht, H. Spiesberger.* *Generalized Vector Dominance and low  $x$  inelastic electron-proton scattering*, BI-TP 97/25; hep-ph/9707447 (1997).  
*P. Desgrolard et al.* // Phys.Lett. 1993. V. B309. P.191.  
*P. Desgrolard, A. Lengyel, E. Martynov.* *New possibilities of old soft pomeron in DIS.* // Eur.Phys.J. 1999. V. C7. P.655.
- [2] *A. Capella et al.* // Phys.Lett. 1995. V.B349. P.561.  
*H. Abramowicz et al.* // Phys.Lett. 1991. V. B269. P465.  
*Halina Abramowicz and Aharon Levy.* *The ALLM parameterization of  $\sigma_{tot}(\gamma^*p)$  - an update*, DESY 97-251, hep-ph/9712415 (1997).  
*A. Donnachie.* *The two pomerons.* In: *Proceedings of the summer school on hadronic aspects of collider physics, Zuoq, 1994*, edited by E.P. Locher (Villigen, PSI-Proceedings, 94-01, 1994), p. 135.  
*M. Bertini, M. Giffon, E. Predazzi* //Phys.Lett. 1995. V.B349. P.561.  
*A. Donnachie, P.V. Landshoff.* *Small  $x$ : Two Pomerons!* // Phys.Lett. 1998. V.B437. P.408.  
*C. Merino, A.B. Kaidalov, D. Pertermann.* *The CKMT Model and the Theoretical Description of the Caldwell-plot*, hep-ph/9911331.
- [3] *V. Petrov.* – In: *Proc. of the VIth Blois Workshop, Editions Frontières, 1995, p. 139*; // Nucl.Phys. 1997.V.54A. P.160 (Proc. Suppl.).

- [4] *M. Froissart* // Phys.Rev. 1961. V.D123. P.1053;  
*A. Martin* // Phys.Rev. 1963. V.D129. P.993.
- [5] *N.M. Kroll, T.D. Lee, B. Zumino* // Phys.Rev. 1967. V.D157. P.1376.
- [6] *V. Petrov, A. Prokudin*. Extended Regge Eikonal Approach Versus Experimental Data (*to be published in the proceedings of the International Conference on Elastic and Diffractive Scattering, Russia, Protvino 1999*).
- [7] *P. Desgrolard, A. Lengyel, E. Martynov* // Eur.Phys.J. 1999. V.C7. P.655.

*Рукопись поступила 7 апреля 2000 г.*

В.А. Петров, А.В. Прокудин  
Структурная функция  $F_2^p(x, Q^2)$  при малых  $x$  в обобщенном Редже-эйкональном подходе.

Оригинал-макет подготовлен с помощью системы  $\text{\LaTeX}$ .  
Редактор Л.Ф. Васильева. Технический редактор Н.В. Орлова.

---

Подписано к печати 07.04.2000. Формат  $60 \times 84/8$ . Офсетная печать.  
Печ.л. 1,37. Уч.-изд.л. 1,1. Тираж 130. Заказ 120. Индекс 3649.  
ЛР №020498 17.04.97.

---

ГНЦ РФ Институт физики высоких энергий  
142284, Протвино Московской обл.

